

東和大学 正員 ○中田欣也
九州産業大学 正員 杉尾 哲

1. まえがき

海岸地帯の透水性地盤においては、塩水が侵入し塩水楔が形成されている。そこで、この塩水楔の挙動を知ることは、地下水利用などの点で、非常に重要である。塩水楔が淡水位の変化に伴なって、どこまで侵入するかを時間的に追跡した研究も多數発表されている。しかし、これらの研究は、いずれも海側境界の自由地下水水面と淡水・塩水界面の位置を海水位に固定して考えられており、浸出面を考慮して解析された研究は、少ないようである。

そこで、本報は、浸出面を考慮し、少しでも実際の現象に近いかたちで解析できないものかと考えて、まず定常解を求め実験結果と比較したものである。なお、数値解析は、準一様流の仮定を用いて、2次元と1次元の近似式にし、塩水楔先端の位置を比較的容易に算定できるようにした。また、浸出面は、Darcy則とともに連続の式を立てて、算定することができるよう試みた。

2. 基礎方程式および差分方程式

図-1に示すような解析領域を考えて、基礎方程式は、次の2つの式を用いた。

自由地下水について

$$\frac{\partial^2 H}{\partial X^2} = \frac{1}{(H - \frac{\Delta P}{\rho_f} R)} \left\{ -\frac{\Delta P}{\rho_f} R \frac{\partial^2 R}{\partial X^2} - \left(\frac{\partial H}{\partial X} \right)^2 - \frac{\Delta P}{\rho_f} R \frac{\partial H}{\partial X} \left(\frac{\partial R}{\partial X} - \frac{\partial H}{\partial X} \right) \right\} \quad \dots \dots (1)$$

淡塩水界面について

$$\frac{\partial^2 R}{\partial X^2} = -\frac{\rho_f}{\Delta P} \cdot \frac{1}{R} \left\{ R \frac{\partial^2 H}{\partial X^2} + \frac{\partial H}{\partial X} \cdot \frac{\partial R}{\partial X} \right\} - \frac{1}{R} \left(\frac{\partial R}{\partial X} \right)^2 \quad \dots \dots (2)$$

ここに、 $X = l/L$, $H = h/l$, $R = r/l$ などの無次元量であり、

l は陸部の長さ, ρ_f は淡水の密度, ρ_s は塩水の密度, $\Delta P = \rho_s - \rho_f$ などである。式(1)および式(2)を差分化して整理すると、次のようになる。

$$H_{i,j} = \frac{1}{2} \cdot \left(H_{i+1,j-1} + H_{i-1,j} \right) + \frac{1}{2 \cdot (H_{i,j-1} - \frac{\Delta P}{\rho_s} R_{i,j-1})} \left[\frac{\Delta P}{\rho_s} R_{i,j-1} \cdot (R_{i+1,j-1} - 2R_{i,j-1} + R_{i-1,j-1}) + \frac{1}{4} \cdot (H_{i+1,j-1} - H_{i-1,j})^2 \right. \\ \left. + \frac{1}{4} \cdot \frac{\Delta P}{\rho_s} \cdot (R_{i+1,j-1} - R_{i-1,j-1}) \cdot (R_{i+1,j-1} - R_{i-1,j-1} - H_{i+1,j-1} + H_{i-1,j}) \right] \quad \dots \dots (3)$$

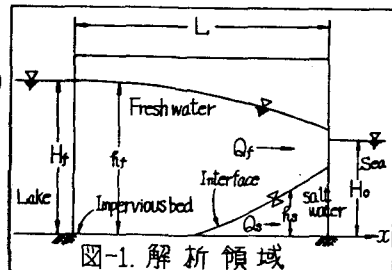
$$R_{i,j} = \frac{1}{2} \cdot \left[R_{i+1,j-1} + R_{i-1,j} + \frac{\rho_f}{\Delta P} \cdot (H_{i+1,j} - 2H_{i,j} + H_{i-1,j}) \right] + \frac{1}{8} \frac{1}{R_{i,j-1}} \cdot \left[\frac{\rho_f}{\Delta P} \cdot (H_{i+1,j} - H_{i-1,j}) \cdot (R_{i+1,j-1} - R_{i-1,j}) \right. \\ \left. + (R_{i+1,j-1} - R_{i-1,j})^2 \right] \quad \dots \dots (4)$$

ここに、 i は格子点番号、 j は繰返しの計算回数を表わしている。なお、計算の順序は、式(3)で一連の計算を行なったのちに、式(4)の計算をし、これを繰返すようにした。

3. 解析における諸量ならびに数値解析

図-1に示す解析領域の解析にあたっての各種諸量の数値は、陸部の長さ $L = 150\text{cm}$, 淡水水位 $H_f = 40.35\text{cm}$, 塩水水位 $H_o = 38.20\text{cm}$, 淡水密度 $\rho_f = 1.03/\text{cm}^3$, 塩水密度 $\rho_s = 1.038/\text{cm}^3$, とした。数値解析は、淡水湖側から海側に向かって 5cm 間隔で 30 分割しておいて、淡水湖側の格子点番号 2 から海側境界の 31 番まで計算を行なった。

繰返し計算前の初期値は、Ghyben-Herzeberg の条件（以後、G.H. の条件と書く）であたえられる平衡状態にあるものとした。すなわち、 $R_{i,j} = (H_f - H_o)/L = 0.176$, $R_{i,j} = (\rho_s/\Delta P) \cdot R_{i,j} \approx 5.85$ とすると、初期自由地下水水面



は、 $f_f = H_0 + f_{fs} \sqrt{x} = H_0 + 0.176 \sqrt{x}$ 、初期淡塩水境界面は、 $f_s = H_0 - f_{ss} \sqrt{x} = H_0 - 5.85 \sqrt{x}$ となる。

さらに、自由地下水水面を式(3)で計算するときに、 $i+1, i, i-1$ の3格子点で、いずれも f_s が負であれば $\Delta P = 0$ において計算した。

4. 塩水楔の先端位置および浸出面の算定

まず、塩水楔の先端位置を算定するにあたっては、図-2で説明すると、塩水水位 f_f が正となる格子点 $X(i)$ とその手前の f_s が負となる格子点 $X(i-1)$ の間の淡塩水境界面を直線と考えて、不透水層(乙軸)との交点を塩水楔先端位置とするものである。

次に、浸出面の算定において海側境界の自由地下水水面の位置は、格子点番号30の場合を流れる流量と格子点番号2と3の間を流れる流量が等しいという関係から計算をする。すなわち、

$$Q = k \cdot \frac{f_f(2) - f_f(3)}{\Delta x} \cdot \frac{f_f(2) + f_f(3)}{2} = \frac{k \cdot [f_f(2)^2 - f_f(3)^2]}{2 \cdot \Delta x} \quad \dots \dots \dots (5)$$

$$Q = \frac{k \cdot \{f_f(29) - f_f(31)\}}{2 \cdot \Delta x} \cdot \{f_f(30) - f_s(30)\} \quad \dots \dots \dots (6)$$

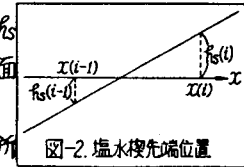


図-2. 塩水楔先端位置

(5)式、(6)式より、 $f_f(31) = f_f(29) - \{f_f(2)^2 - f_f(3)^2\} / \{f_f(30) - f_s(30)\}$ (7)を得た。

同じく、海側境界の淡塩水境界面の位置は、G.H.の条件より、 $f_s(31) = H_0 - 5.85 \cdot (f_f(31) - H_0)$ (8)を得た。

5. 計算結果および実験値

図-3は、淡塩水境界面の形状について、(ア)浸出面の計算に式(7)および式(8)を用いた計算結果、(イ)浸出面を考えないで求めた計算結果、(ウ)全格子点においてG.H.の条件で求めた計算結果、(エ)九州大学でガラス球を使用して行なわれた実験結果を示したものである。これらの結果から見て、(ア)の方法で計算した結果は、実験値と塩水楔の先端部付近ではどん一致していることがわかる。(ア)の方法による計算結果は、海側境界において淡塩水境界面が実験値とまったく一致しているが全体的な淡塩水境界面の形状が、上に凸のかたちを示しており、塩水楔の先端までの長さを約10cm程度短くなっている。今後、まだ塩水楔先端部での処理に検討の必要があると考える。次に、自由地下水水面の形状については、上記の(ア)の方法および(イ)の方法のほかに、(オ)単一流体の浸出面を考慮した計算結果も合わせて、表-1に示している。

これより、(ア)の方法による計算結果は、(オ)の方法による計算結果よりも水位が高くなっている、自由地下水水面が塩水楔の侵入によって、押し上げられたかたちになっていることがわかる。以上のような結果をえたが、講演発表までにHale-Shawモデルによる実験を行ない報告したいと思う。

6. あとがき

本研究は、いまだ不明確な部分が多く、今後さらに検討をしていかなければならぬと考えている。尚、貴重な実験資料を提供していただいた九州大学水工土木科上水研究室の方々に心より謝意を表します。

(参考文献)

1)川谷 健:海岸漏水層内の地下水位と淡塩水境界面に関する数値解析(英文) 土木学会論文報告集, No.238, 1975.

2)平野 藤野・上田:地下塩水楔の2次元非定常の数値解について 土木学会第33回年講, 第2部 P.632.

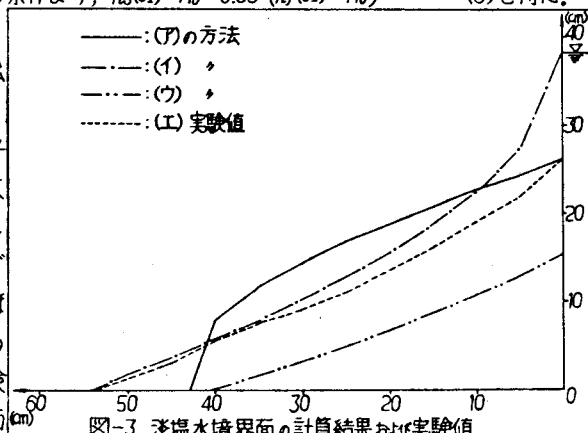


表-1. 自由地下水水面の形状

距離 解法	150	100	50	20	10	5	0
ア	40. 350	40. 332	40. 315	40. 299	40. 291	40. 287	40. 282
イ	40. 350	39. 821	39. 288	38. 880	38. 672	38. 523	38. 200
オ	40. 350	39. 880	39. 402	39. 113	38. 017	38. 968	38. 920